

АЛГОРИТМИЗАЦИЯ И КОМПЬЮТЕРНОЕ МОДЕЛИРОВАНИЕ ОБРАТНОЙ ЗАДАЧИ КИНЕМАТИКИ ДЛЯ СИСТЕМЫ ПЕРЕМЕЩЕНИЙ НА ТРЁХ ПЛАНАРНЫХ ПОЗИЦИОНЕРАХ

В. В. Кузнецов, Д. Г. Бегун, В. В. Поляковский

Факультет компьютерного проектирования, Белорусский государственный университет информатики и радиоэлектроники
Минск, Республика Беларусь
E-mail: vitaly.kuznetsov2014@icloud.com

Рассматривается алгоритмизация решения обратной задачи кинематики для системы перемещений со структурой в виде механизма параллельной кинематики на трёх двухкоординатных планарных позиционерах со взаимно ортогональными управляемыми перемещениями.

При проведении лазерного мониторинга охраняемых объектов используются различные механизмы наведения луча лазера на объект мониторинга и последующее сканирование. Как правило это системы перемещений с разделенными по приводам и автономными отдельно управляемыми координатами. С появлением гибридного многокоординатного привода синхронного типа, созданного на предприятии «Рухсервомотор» (г. Минск), конфигурирование таких систем может осуществляться на механизмах параллельной кинематики с компьютерным управлением для реализации требуемых программируемых движений. Такие системы представляют собой механо-аппаратно-программные комплексы, относящиеся к классу мехатронных систем перемещений. Структурно их можно разделить на две функциональные составляющие: многокоординатный привод и исполнительный механизм параллельной кинематики. Многокоординатный привод может быть построен как на параллельном сочетании необходимого количества однокоординатных управляемых двигателей линейного или поворотного типов, либо на использовании одного гибридного многокоординатного синхронного двигателя, в котором управление всеми отдельными элементами происходит через специальный контроллер распределенной системы управлений от программы верхнего уровня управляющей ЭВМ.

В отличие от традиционных, в использованных нами гибридных приводах реализована конструктивная интеграция необходимых степеней свободы в одном многокоординатном двигателе с общим аппаратным и программным интерфейсом для всех задействованных обобщенных координат. В настоящей работе рассматривая систему перемещений и сканирования с шестью степенями свободы, построенное на трёх двухкоординатных планарных приводах прямого действия и механизма параллельной кинематики на основе пространственной группы Ассур третьего класса [1] (рис. 1).

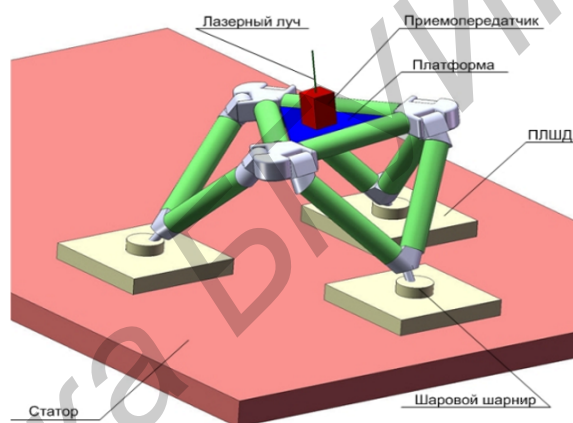


Рис. 1 – Механизм параллельной кинематики на планарных позиционерах

Рассмотрим математическое описание топологии отдельной параллельной кинематической цепи, например, AFB , связанной с платформой ABC вращательным соединением AB . Для этого фрагмента механизма на рис. 2 представлен выбор необходимых систем координат S_2 и S_3 и принятый угол ω_1 , определяющий относительный поворот звена AFD по отношению к звену ABC во вращательном соединении AB .

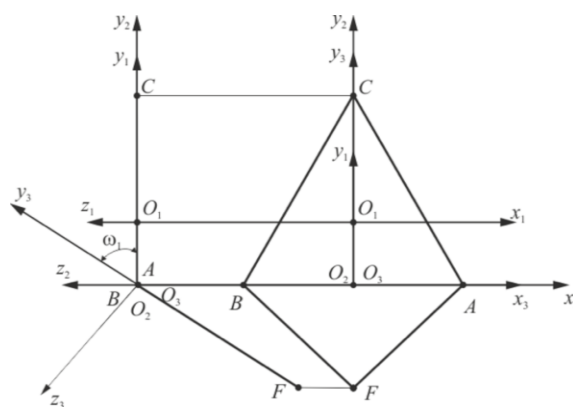


Рис. 2 – Фрагмент расчётной схемы

В соответствии с принятым координатным описанием топологии этого фрагмента (рис. 2) матрицы перехода M_{12} и M_{23} между соответ-

ствующими системами координат S_2 и S_1 , S_3 и S_2 будут иметь вид(1).

С учетом (1) и (2) полная цепочка матричных преобразований координат положения точки F в систему координат S_0 будет иметь вид(3).

Так как положение точки F ограничено общей плоскостью перемещения точек D , E и F , то есть плоскостью x_0Oy_0 , по которой осуществляется кинематическое замыкание тремя планарными позиционными (рис. 2), то аналитическое условие этого замыкания имеет вид: z_0^F . Или из (3) получим:

$$z_0^F = a_{32} \cdot \left(\cos \omega_1 + \frac{1}{3} \right) - a_{33} \cdot \left(\sin \omega_1 + \frac{1}{3} \right) + a_{34} \cdot \frac{2}{\sqrt{3}}$$

отсюда получим(4).

Выражение (4) позволяет найти два возможных значения угла ω_1 (ω_1^1, ω_1^2) соответствующие двум конфигурационным вариантам положения подвижного звена AFB по отношению к плоскости x_0Oy_0 . Координаты x_0^F и y_0^F положения точки F на этой плоскости определяются с учётом найденного ω_1 .

Аналогичным образом, как и для точки F , осуществляется алгоритмизация математических моделей для точек D и E .

На основании представленной выше модели алгоритмизации были разработаны программы компьютерного моделирования в среде MATLAB рассматриваемого механизма параллельной кинематики, с интерактивной визуализацией самого механизма и параметров и параметров и характеристик. Для тестового примера базовые конструктивные размеры исполнительного механизма были приняты следующими: геометрическая конфигурация механизма параллельной кинематики представляет собой раскрывающий-

ся тетраэдр с четырьмя равносторонними треугольными звеньями со сторонами равными $a = 14$. Начальное положение рабочей платформы соответствует предельным координатам $x_{01} = 0, y_{01} = 0, z_{01} = a \frac{\sqrt{3}}{2}, \varphi = 0^\circ, \theta = 0^\circ, \psi = 0^\circ$. В этом случае платформа параллельна основанию и находится на максимальном удалении от него всей предельной характеристики рабочей области. Установлено, что изменение координаты z_a возможно в пределах от 0 до $a \frac{\sqrt{3}}{2}$, границы рабочей области по x_{01} и y_{01} зависят только от размеров плоского статора. Угол φ может меняться в пределах от 0° до 360° . Угол θ меняется в пределах от минус $59,25^\circ$ при $z = 6,2$ до плюс $59,25^\circ$ при $z = 6,2$. Угол ψ может изменяться от минус $81,79^\circ$ при $z = 8,0$ до плюс $68,40^\circ$ при $z = 3,8$.

Было также проверено имитационное компьютерное моделирование траектории движения планарных сегментов привода при изменении положения платформы без учёта и с учётом их планарной геометрии. Это позволило разработать средствами MATLAB интерфейс интерактивной визуализации всей системы с возможностью проведения её интерактивного исследования по кинематическим характеристикам.

СПИСОК ЛИТЕРАТУРЫ

1. Моделирование механизмов параллельной кинематики в среде MATLAB/Simulink / С. Е. Карпович, [и др.]. – Минск : Бестспринт, 2013. – 153 с.
2. Системы многокоординатных перемещений в исполнительные механизмы для позиционного технологического оборудования / С. Е. Карпович, [и др.]. – Минск : Бестспринт, 2013. – 208 с.
3. Виттенбург, Й. Динамика систем твёрдых тел / Й. Виттенбург. – М: Мир, 1980. – 292 с.
4. Heimann, B. Mechatronika. Komponenty, metody, przyklady / B. Heimann, W. Gerth, K. Popp. – Warszawa : PWN, 2001. – 351 s.

$$M_{12} = \begin{bmatrix} 1 & 0 & 0 & 0 \\ 0 & 1 & 0 & -a \frac{1}{2\sqrt{3}} \\ 0 & 0 & 1 & 0 \\ 0 & 0 & 0 & 1 \end{bmatrix}; \quad M_{23} = \begin{bmatrix} 1 & 0 & 0 & 0 \\ 0 & \cos \omega_1 & -\sin \omega_1 & 0 \\ 0 & \sin \omega_1 & \cos \omega_1 & 0 \\ 0 & 0 & 0 & 1 \end{bmatrix} \quad (1)$$

$$M_{01} = \begin{bmatrix} \cos \varphi \cos \theta & -\sin \varphi \cos \psi + \cos \varphi \sin \theta \sin \psi & \sin \varphi \sin \psi + \cos \varphi \sin \theta \cos \psi & x_{01} \\ \sin \varphi \cos \theta & \cos \varphi \cos \psi + \sin \varphi \sin \theta \sin \psi & -\cos \varphi \sin \psi + \sin \varphi \sin \theta \cos \psi & y_{01} \\ -\sin \theta & \cos \theta \sin \psi & \cos \theta \cos \psi & z_{01} \\ 0 & 0 & 0 & 1 \end{bmatrix} \quad (2)$$

$$R_0^F = M_{01} \cdot M_{12} \cdot M_{23} \cdot R_3^F; \quad R_0^F = a \frac{\sqrt{3}}{2} \begin{bmatrix} a_{12}(\cos \omega_1 + \frac{1}{3}) - a_{13}(\sin \omega_1 + \frac{1}{3}) + a_{14} \frac{2}{\sqrt{3}} \\ a_{22}(\cos \omega_1 + \frac{1}{3}) - a_{23}(\sin \omega_1 + \frac{1}{3}) + a_{24} \frac{2}{\sqrt{3}} \\ a_{32}(\cos \omega_1 + \frac{1}{3}) - a_{33}(\sin \omega_1 + \frac{1}{3}) + a_{34} \frac{2}{\sqrt{3}} \\ 1 \end{bmatrix} \quad (3)$$

$$\cos \omega_1 = \frac{-M_1 \cdot P_1 \pm \sqrt{-M_1^2 \cdot P_1^2 - (M_1^2 + N_1^2) \cdot (P_1^2 - N_1^2)^2}}{M_1^2 + N_1^2} \quad (4)$$

где $M_1 = aa_{32} \frac{\sqrt{3}}{2}; N_1 = aa_{33} \frac{\sqrt{3}}{2}; P_1 = \frac{aa_{32}}{2\sqrt{3}} - a_{34}$.